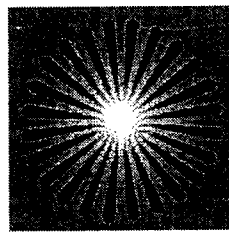


١٤٨٨١٤



دانشگاه پیام نور

مرکز تبریز

دانشکده علوم پایه

گروه علمی شیمی

پایان نامه برای دریافت درجه کارشناسی ارشد در رشته شیمی معدنی

عنوان :

تهیه نانوذرات لایه ای هیدروکسیدی دوگانه  $Zn-Al$  حاوی  $Mn^{2+}$  و  $Fe^{3+}$  با نسبتهاي  
فلزی متفاوت و بررسی میزان تبلور و اندازه ذرات آنها

استاد راهنما:

دکتر ذوالفقار رضوانی ۱۳۸۹/۸/۲۴

استاد مشاور:

دکتر کاملیا نجاتی

قدرهات مدن حمی بزرگ  
تسبیه مارک

پژوهشگر:

تراب ابراهیم زاده مشکنبر

شهریور ۱۳۸۹

۱۴۵۵۱۶



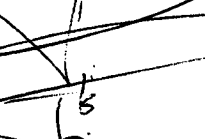
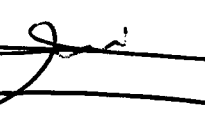
دالکار و سامن نور  
۶۰

تصویب نامه پایان نامه

پایان نامه: تهییه نانو ذرات لایه ای هیدروکسیدی دوگانه Al-Zn حاوی  $Mn^{+2}$  یا  $Fe^{+3}$  با نسبت‌های فلزی متفاوت و بررسی میزان تبلور و اندازه ذرات آنها

تاریخ دفاع ۸۹/۶/۱۳ نمره: ۵ (نرخ امداد) درجه ارزشیابی: عالی که توسط آقای تراب ابراهیم زاده مشگنبر تهیه و به هیأت داوران ارائه گردیده است مورد تأیید می باشد.

اعضای هیأت داوران:

نام و نام خانوادگی	هیأت داوران	مرتبه علمی	امضاء
۱ آقای دکتر ذوالفقار رضوانی	استاد راهنما	دانشیلار	
۲ خانم دکتر کاملیا نجاتی	استاد مشاور	استاد دیار	
۳ آقای دکتر عبدالعلی عالمی	استاد داور خارجی	استاد	
۴ آقای دکتر لطفعلی سقط فروش	استاد داور داخلی	استاد دیار	
۵ آقای دکتر بخشعلی معصومی	نماینده گروه علمی	استاد دیار	
۶ آقای دکتر سید مهدی عراقی	نماینده تحصیلات تكمیلی	استاد دیار	

نام خانوادگی دانشجو: ابراهیم زاده مشکنبر	نام: تراب
عنوان پایان نامه: تهیه نانوذرات لایه ای دوگانه هیدروکسیدی Zn-Al حاوی $Mn^{2+}$ و $Fe^{3+}$ با نسبتهای فلزی متفاوت و بررسی میزان تبلور و اندازه ذرات آنها	
استاد راهنما: آقای دکتر ذوالفقار رضوانی	
استاد مشاور: خانم دکتر کاملیا نجاتی	
درجه تحصیلی: کارشناسی ارشد	گرایش: معدنی
دانشگاه: پیام نور - مرکز تبریز	تعداد صفحات: ۱۱۸
تاریخ دفاع: شهریور ۸۹	
	چکیده:
<p>در این کار پژوهشی ابتدا ترکیبات Zn-Al با ساختار لایه ای دوگانه هیدروکسیدی را با دو روش ترمال و تحت تابش پرتوهای مایکروویو و به فرمول <math>Zn_3Al_1(OH)_8(CO_3)_{0.5} \cdot nH_2O</math> تهیه کردیم و سپس نانوذرات لایه ای دوگانه هیدروکسیدی Zn-Mn-Al را با وارد کردن Mn(II) به جای بخشی از Zn(II) در ترکیب لایه های Zn-Al در چهار نسبت فلزی متفاوت را به روش همرسوبی و به عمل آوری با دو روش ترمال و تحت تابش پرتوهای مایکروویو و به فرمول <math>(Zn_{2-y}Mn_y)_{1.5}Al_1(OH)_8(CO_3)_{0.5} \cdot nH_2O</math> با مقدار <math>y=0.2, 0.4, 0.6</math> در ترکیب لایه های Zn-Al-Fe را با وارد کردن Fe(III) به جای 1 ستر کردیم. سپس نانوذرات لایه دوگانه هیدروکسیدی Zn-Al-Fe را با با وارد کردن Fe(III) به جای بخشی از Al(III) در ترکیب لایه های Zn-Al در نسبتهای فلزی مختلف و به فرمول <math>Zn_3(Al_{1-y}Fe_y)_1(OH)_8</math> با مقدار <math>y=0.2, 0.6</math> و با دو روش ترمال و تحت تابش پرتوهای مایکروویو تهیه کردیم. متوسط اندازه نانوذرات، ساختار لایه ای و شناسایی کیفی آنها توسط پراش اشعه ایکس (XRD)، مورفولوژی و ریخت شناسی ذرات، توسط میکروسکوپ الکترونی روبشی (SEM) و تعیین شیوه های ارتعاشی گروهها توسط طیف سنجی مادون قرمز تبدیل فوریه (FT-IR) انجام گردید. رفتار حرارتی و تعیین ترکیب ماده توسط TGA و طیف سنجی جذبی اتمی (A.A.S) مورد بررسی قرار گرفت و همچنین با استفاده از معادله شرر قطر متوسط نانوذرات محاسبه شد و بطور خلاصه نتایج زیر حاصل شد.</p> <p>الف) نانوذرات لایه دوگانه هیدروکسیدی Zn-Al به عمل آوری شده با روش ترمال و مایکروویو دارای ساختاری بلوری هستند، که این بلورها در سیستم هگزاگونال تبلور یافته اند.</p> <p>ب) یون فلز واسطه آهن (III) که در ترکیب لایه ها در محل یونهای آلومینیوم (III) قرار گرفته اند و با افزایش درصد آهن، بلورینگی و اندازه ذرات کاهش یافته و نیز از حالت هگزاگونال خارج شده و شکل کروی به خود می گیرند.</p> <p>ج) نانوذرات لایه دوگانه هیدروکسیدی حاوی یون فلز واسطه منگنز (II) بطور کامل تشکیل شده است. و با افزودن یون فلز واسطه منگنز (II) به نانوذرات Zn-Al به تدریج و با افزایش درصد منگنز اندازه ذرات کوچکتر</p>	

شده و نیز از حالت هگزاگونال خارج شده و شکل کروی به خود می‌گیرند. همچنین با افزایش درصد مولی منگنز میزان بلورینگی کاهش می‌یابد.

د) مقایسه منحنی‌های تجزیه حرارتی مشخص می‌شود که میزان آب تبلور و بین لایه‌ای نانوذرات به صورت مقابل  $Zn-Al-CO_3$  LDH >  $Zn-(AlFe)-CO_3$  LDH >  $(ZnMn)-Al-CO_3$  LDH از راست به چپ افزایش می‌یابد، این روند با شکل ذرات ارتباط مستقیمی دارد یعنی نمونه‌هایی با شکل ورقه‌های هگزاگونال به دلیل داشتن ضخامت کمتر و مساحت سطحی بیشتر، نسبت به نمونه‌های با شکل کروی، میزان جذب سطحی بالایی دارند.

ه) از مقایسه روش ترمال با مایکروویو نتیجه گیری می‌شود که سنتز با روش مایکروویو زمان سنتز را به طور قابل توجهی کاهش می‌دهد.

واژگان کلیدی: هیدروکسیدهای لایه‌ای دوگانه (LDH),  $Zn-Mn$ - $Zn-Al-Fe$  LDH,  $Zn-Al$  LDH,  $Al$  LDH بعمل آوری ترمال، بعمل آوری تحت امواج ریز موج، منگنز، آهن.

## فهرست مطالب

عنوان

صفحه

## فصل اول: بررسی منابع

۱-۱. مقدمه ای بر ترکیبات لایه ای دوگانه هیدروکسیدی	۱
۱-۲. ساختار LDH ها	۱
۱-۳. استخلاف کاتیونی لایه شبه بروسیتی	۴
۱-۳-۱. ماهیت کاتیونهای $M^{III}$ و $M^{II}$ و نسبت مولی کاتیون دو ظرفیتی به سه ظرفیتی	۴
۱-۴. بررسی پارامتر ابعادی سلول واحد $a_0$ و $c_0$ برای LDH ها	۶
۱-۵. فاصله پایه ای LDH ها	۸
۱-۶. فضای بین لایه ای، لایه دوگانه هیدروکسیدی	۸
۱-۷. صلبیت لایه .	۱۰
۱-۸-۱ تعیین جزئیات ماهیت ساختاری LDH ها با استفاده از پراش اشعه ایکس (XRD)	۱۰
۱-۹-۱ روش‌های تهیه LDH	۱۷
۱-۹-۱-۱. همروسویی	۱۷
۱-۹-۱-۲. فرآیند ترمال	۱۸
۱-۹-۱-۳-۲. فرآیند هیدرو ترمال	۱۸
۱-۹-۱-۴-۲. رسوبگیری در فوق اشباع پایین	۱۸
۱-۹-۱-۵-۲. رسوبگیری در شرایط فوق اشباع بالا	۱۹
۱-۹-۱-۶ روش شامل هسته زایی مجزا و مراحل رشد بعدی	۱۹
۱-۹-۱-۷. روش هیدرولیز اوره	۲۲
۱-۹-۱-۸-۱ روش تعویض یونی	۲۴
۱-۹-۱-۹-۱ دهیدراسیون با استفاده از اثر حافظه ای ساختار	۲۵
۱-۹-۱-۱۰-۱ روش هیدروترمال	۲۶
۱-۹-۱-۱۱-۱. جای دادن ثانویه	۲۶
۱-۹-۱-۱۲-۱. یک روش جای دادن شامل حل کردن و همروسویی مجدد	۲۷
۱-۱۰-۱ خواص و کاربردهای ترکیبات لایه ای دوگانه هیدروکسیدی	۲۹
۱-۱۰-۱-۲. کاربردهای دارویی و پزشکی	۲۹
۱-۱۰-۱-۳. کاربردهای آرایشی و بهداشتی	۳۰
۱-۱۰-۱-۴. کاربرد در محیط زیست و حذف آلاینده ها	۳۲
۱-۱۱-۱. هدف از کار پژوهشی حاضر	۳۴

## فهرست مطالب

عنوان	
صفحه	
<b>فصل دوم: بخش تجربی</b>	
.....	
۱-۲. مشخصات مواد اولیه.....	۳۶
۲-۲. دستگاهها و تجهیزات آزمایشگاهی.....	۳۶
۳-۲. روش تهیه نانوذرات لایه ای دوگانه هیدروکسیدی Zn-Al حاوی $Mn^{2+}$ و $Fe^{3+}$ .....	۳۷
۳-۲-۱. سنتز Zn-Al $CO_3$ -LDH با استفاده از روش همرسوبی و به دنبال آن عملیات ترمال.....	۳۸
۳-۲-۲. سنتز Zn-Al $CO_3$ -LDH با استفاده از روش همرسوبی و به عمل آوری به کمک امواج مایکروویو.....	۳۹
۴-۲. سنتز نانو ذرات Zn-Al حاوی $Mn^{2+}$ .....	۴۰
۴-۲-۱. سنتز نانو ذرات Zn-Al حاوی $Mn^{2+}$ با استفاده از روش همرسوبی و به دنبال آن عملیات ترمال.....	۴۰
۴-۲-۲. سنتز نانو ذرات Zn-Al حاوی $Mn^{2+}$ با استفاده از روش همرسوبی و به عمل آوری به کمک امواج مایکروویو.....	۴۱
۵-۲. سنتز نانو ذرات Zn-Al حاوی یون فلز واسطه $Fe^{3+}$ .....	۴۲
۵-۲-۱. سنتز نانو ذرات Zn-Al حاوی $Fe^{3+}$ با روش ترمال.....	۴۲
۵-۲-۲. سنتز نانو ذرات Zn-Al حاوی $Fe^{3+}$ با کمک تابش امواج مایکروویو.....	۴۳
۶-۲. سنتز نانوذره $Mn-Al CO_3$ -LDH با استفاده از روش همرسوبی و به دنبال آن عملیات هیدروترمال.....	۴۴
۷-۲. سنتز نانوذره $ZnO$ با استفاده با استفاده از روش همرسوبی.....	۴۵

## فصل سوم: نتایج و بحث

.....	
۱-۳. بررسی شیوه های ارتعاشی نمونه ها با طیف سنجی FT-IR.....	۴۸
۱-۳-۱. بررسی FT-IR نانو ذرات Zn-Al-CO <sub>3</sub> LDH تهیه شده به روش ترمال و تحت تابش مایکروویو.....	۴۸
۱-۳-۲. بررسی FT-IR نانو ذرات Zn-Al حاوی $Mn^{2+}$ تهیه شده به روش ترمال و تحت تابش مایکروویو.....	۵۱
۱-۳-۳. آنالیز FT-IR نانو ذرات Zn-Al حاوی $Fe^{3+}$ تهیه شده به روش ترمال و تحت تابش مایکروویو.....	۵۵
۲-۳. بررسی ساختار کریستالی نمونه ها بوسیله پراش اشعه ایکس (XRD).....	۵۹
۲-۳-۱. بررسی XRD نانو ذرات Zn-Al-CO <sub>3</sub> LDH تهیه شده به روش ترمال و تحت تابش مایکروویو.....	۶۱
۲-۳-۲. بررسی مورفولوژیکی نانوذرات Zn-Al-CO <sub>3</sub> LDH تهیه شده به روش ترمال و تحت تابش مایکروویو.....	۶۴
۲-۳-۳. بررسی طیف سنجی جذب اتمی (A.A.S) نمونه ۱.....	۶۵
۲-۳-۴. بررسی الگوهای پراش اشعه ایکس نانو ذرات Zn-Al حاوی $Mn^{2+}$ .....	۶۸
۲-۳-۵. بررسی الگوهای پراش اشعه ایکس نانو ذرات Zn-Al حاوی $Mn^{2+}$ .....	۷۵
۲-۳-۶. بررسی و مقایسه الگوی پراش اشعه ایکس نانوذرات Zn-Al حاوی $Mn^{2+}$ .....	۷۵
۲-۳-۷. بررسی مورفولوژیکی نانو ذرات Zn-Al حاوی $Mn^{2+}$ با استفاده از میکروسکوپ الکترونی روبش.....	۷۶
۲-۳-۸. بررسی طیف سنجی جذب اتمی (A.A.S) نمونه نانو ذرات Zn-Al حاوی $Mn^{2+}$ .....	۷۸
۲-۳-۹. آنالیز پراش اشعه ایکس نمونه های نانو ذرات Zn-Al حاوی $Fe^{3+}$ .....	۸۱
۲-۳-۱۰. بررسی و مقایسه الگوی پراش اشعه ایکس نانوذرات Zn-Al حاوی $Fe^{3+}$ .....	۸۵

## فهرست مطالب

عنوان		صفحه
بررسی مورفولوژیکی نانو ذرات Zn-Al حاوی $\text{Fe}^{3+}$ با استفاده از میکروسکوپ الکترونی روبشی	۸۶	
بررسی طیف سنجی جذب اتمی (A.A.S) نمونه نانو ذرات Zn-Al حاوی $\text{Fe}^{3+}$	۸۸	
بررسی رفتار حرارتی نمونه ۱۵/۱ با استفاده از آنالیز TGA	۹۰	
نتیجه گیری پیشنهادات	۹۷	
پیوستها	۹۸	
منابع	۱۰۰	
	۱۰۸	

فصل اول

بررسی منابع

## ۱-۱. مقدمه ای بر ترکیبات لایه ای دوگانه هیدروکسیدی

کشف ترکیبات لایه ای دوگانه هیدروکسیدی<sup>۱</sup> به هیدروتالسیت های معدنی که طبقه بزرگی از مواد معدنی با ساختاری کاملا مشابه می باشند، بر می گردد. هیدروتالسیتها به یک طبقه از کلی های آنیونی تعلق دارند که ساختار آنها از به اشتراک گذاشتن لبه های واحدهای هشت وجهی  $\text{Al(OH)}_6$  و  $\text{Mg(OH)}_6$  که ایجاد تعداد زیادی لایه های دارای بار مثبت داده و این لایه ها بوسیله آنیونهای موازن کننده بار و مولکولهای آب بین لایه ای از هم جدا می شوند [۱-۴]. هیدروتالسیت  $\text{CO}_3 \cdot 4\text{H}_2\text{O} [\text{Mg}_6\text{Al}_2(\text{OH})_{16}]$  نخستین بار در سال ۱۸۴۲ در کشور سوئد کشف شد و به صورت یک هیدروکسوکربنات  $\text{Al}$  و  $\text{Mg}$  است. فرمول مولکولی هیدروتالسیت و مواد مشابه آن نخستین بار بوسیله مانس<sup>۲</sup> در سال ۱۹۱۵ تعیین گردید. در سال ۱۹۴۲ فیکنیچت<sup>۳</sup> یک سری از ترکیبات هیدروتالسیتی را ستز نمود و ساختار آنها را بصورت ورقه هایی با هیدروکسیدهای بین لایه ای در نظر گرفت. الما و تایلور<sup>۴</sup> [۵-۷] در سال ۱۹۶۰ ویژگیهای اصلی ساختاری ترکیبات لایه دوگانه هیدروکسیدی را بر پایه آنالیز پراش اشعه ایکس تک کریستال تعیین کردند. ترکیبات لایه ای دوگانه هیدروکسیدی، خاکهای رسی آنیونی نیز نامیده می شوند، زیرا بطور شگفت آوری بسیاری از خواص فیزیکی و شیمیایی خاکهای رسی را نشان می دهند [۱] و همچنین واژه عمومی ترکیبات شبه هیدروتالسیت را نیز بکار می برند، احتمالاً به خاطر اینکه بسیاری از خواص ماهیتی هیدروتالسیت (هیدروکسوکربنات  $\text{Al}$  و  $\text{Mg}$ ) را از خود بروز می دهند. واژه لایه ای دوگانه هیدروکسیدی (LDH) از کارهای اولیه فیکنچت، کسی که این ترکیبات را ساختارهای ورقه ای دوگانه نامیده، اخذ شده است، که یک ساختاری با هیدروکسیدهای بین لایه ای در نظر گرفت. این نظریه چندین سال بعد بر پایه آنالیز پراش اشعه ایکس تک کریستال متفقی شد و نتایج آنالیز ها نشان داد که همه کاتیونها در لایه های مشابه و آنیونها و مولکولهای آب در نواحی بین لایه ای جای گرفته اند (شکل ۲-۱). با وجود این بایستی در نظر داشت که واژه هیدروتالسیت یا کلی های آنیونی به طور عمومی پذیرفته نشده است [۱].

## ۲-۱. ساختار LDH ها

ساختار ترکیبات لایه دوگانه هیدروکسیدی بر پایه ساختار بروسیت هاست  $[\text{Mg}(\text{OH})_2]$ ، در بروسیت هر

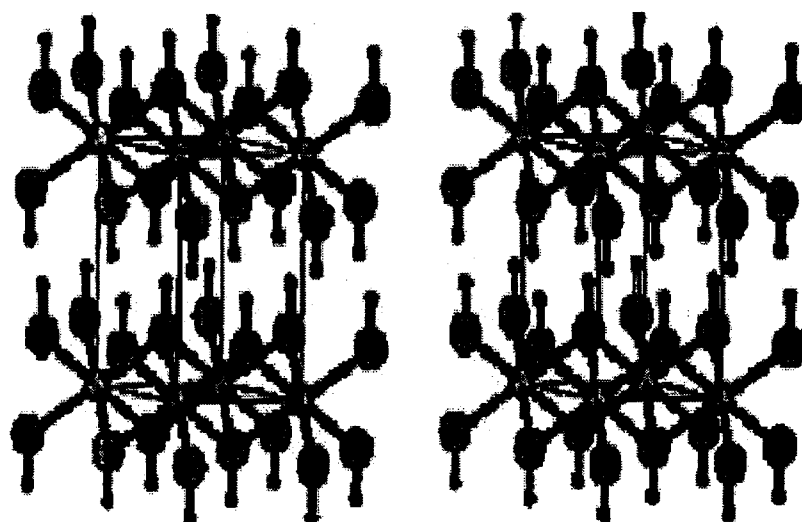
<sup>۱</sup> Layered Double Hydroxide(LDH)

<sup>۲</sup> Manasse

<sup>۳</sup> Feitknecht

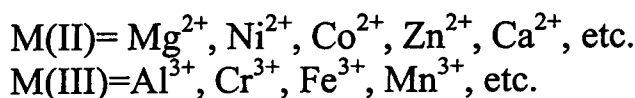
<sup>۴</sup> Taylor and Allman

یون مینزیم با آرایش هشت وجهی توسط یونهای هیدروکسید احاطه شده اند، همان طوری که در شکل (۱-۱) مشاهده می شود این واحد های هشت وجهی از تعداد زیادی لایه، با لبه های مشترک با یونهای هیدروکسیدی، که به طور عمود نسبت به صفحه لایه ها چیده شده اند و سپس لایه ها بر روی هم انباشته شده و تشکیل ساختار دو بعدی (بروسیت) را می دهند [۸].



شکل (۱-۱) تصویری شماتیک از ساختار لایه ای بروسیت

ساختار LDH ها در اثر جانشینی قسمتی از کاتیونهای دو ظرفیتی در یک شبکه بروسیتی با کاتیونهای سه ظرفیتی حاصل می شود [۹]. در نتیجه وارد کردن کاتیونهای سه ظرفیتی دانسیته بار مثبت لایه ها افزایش می یابد لذا برای خنثی نگه داشتن ترکیب، آنیونهای خنثی کننده بار و مولکولهای آب در ناحیه بین لایه ای قرار می گیرند. ترکیبات لایه دوگانه هیدروکسیدی یک گستره بزرگ از مواد دارای ساختار لایه ای و با فرمول عمومی  $M^{II}_{1-x} M^{III}_x (OH)_2]^{x+} [A^{n-}]_{x/n} \cdot y H_2O$  هستند [۱۰]. به طوری که:



و  $A^{n-}$  آنیون بین لایه ای است که می تواند شامل:

(۱) آنیونهای معدنی مثل  $Cl^-$ ,  $Br^-$ ,  $CO_3^{2-}$ ,  $SO_4^{2-}$  و غیره باشد.

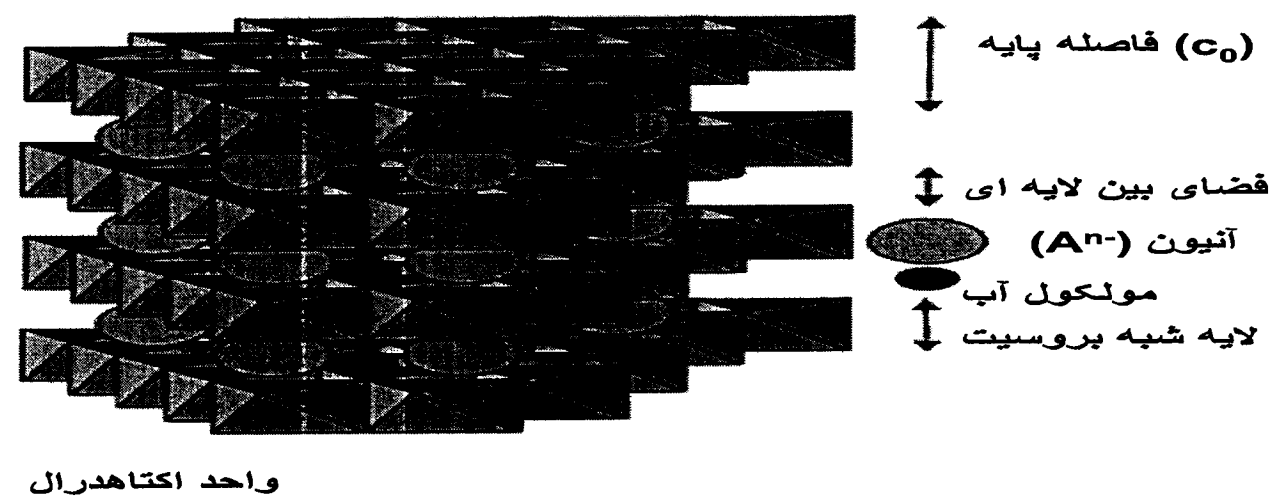
(۲) آنیونهای هتروپلی مثل  $V_{10}O_{28}^{6-}$ ,  $Mo_7O_{24}^{6-}$

(۳) کمپلکسهای آنیونی مثل  $[Fe(CN)_6]^{3-}$ ,  $[IrCl_6]^{2-}$

(۴) اسیدهای آلی مثل مالونیک، سوکسینیک اسید و.... باشد.

(۵) لیگاندهای ماکروسیکل فلزی مثل کبات فتالوسیانین و..... باشد...

بسیاری از LDH های سه تایی، شامل مخلوطهایی از کاتیونهای دو ظرفیتی و سه ظرفیتی مختلف و همچنین LDH های چهارتایی نیز گزارش شده است [۹]، آنها اندازه ذرات مختلفی وابسته به نوع روش سنتزی نشان می دهند و دارای دانسیته بار بالایی هستند (meq/g ۲-۵) که ایجاد نیروی الکترواستاتیک قوی بین لایه های بروسیت مانند و آنیونها می نماید، به همین دلیل LDH ها آنیونها، مخصوصاً آنیونهای چند ظرفیتی را در ناحیه بین لایه ای ، بخاطر جاذبه الکترواستاتیک قویتر، ترجیح می دهند [۱۱]. فاصله پایه<sup>۵</sup> LDH ها ( فاصله مرکز یک لایه تا مرکز لایه مجاور) به طور واضح خیلی بزرگتر از فاصله پایه ای بروسیت هاست ( $c_0 = 0.4766\text{nm}$ ) زیرا هیچ نوع آنیونی در این قسمت حضور ندارد. فاصله پایه لایه دوگانه هیدروکسیدی با نوع ترکیب بین لایه ای یا بطور دقیقتر اندازه آنیون و تعداد مولکولهای آب بین لایه ای ارتباط مستقیم دارد. ویژگیها و خواص نیروهای ضعیف بین لایه ها ، مربوط به مشارکت نیروهای پراکنده‌گی لاندن و پیوند هیدروژنی است.



شکل (۱-۲) ساختار یک ترکیب لایه ای دوگانه هیدروکسیدی

### ۱-۳. استخلاف کاتیونی لایه شبه بروسیتی

<sup>۵</sup> Basal Spacing

### ۱-۳-۱. ماهیت کاتیونهای $M^{II}$ و $M^{III}$ و نسبت مولی کاتیون دوظرفیتی به سه ظرفیتی

LDH ها با فرمول عمومی  $[M^{II}_{1-x} M^{III}_x (OH)_2]^{x+} [A^{n-}]_{x/n} \cdot yH_2O$  نشان داده می شوند به طوری که  $M^{II}$  کاتیونهای دوظرفیتی مانند  $Zn^{2+}, Mn^{2+}, Fe^{2+}, Cu^{2+}, Ni^{2+}, Co^{2+}$  وغیره می باشد. و  $M^{III}$  کاتیون سه ظرفیتی مثل  $Fe^{3+}, Al^{3+}, Ga^{3+}$  و... می باشد [۱۳]. برای بسیاری از LDH ها مقدار  $x$  (یا بعبارتی دیگر نسبت کسر مولی  $M^{III}/(M^{II} + M^{III})$  در محدوده  $0.33 < x < 0.2$ ) تشخیص داده شده است. ولی گستره این ترکیبات بزرگتر از حوزه فرمول بالا هست برای این که ترکیبات حاوی لیتیم تک ظرفیتی دارای ساختاری مشابه LDH ها و به فرمول  $[Li Al_2(OH)_6]^{+} [A^{n-}]_{1/n} \cdot yH_2O$  نیز شناخته شده اند [۱۴].

یک سری از مطالعات تجربی برای تعیین مرز یونهایی که می توانند LDH ها را تشکیل دهنند، انجام گرفته است، برای مثال نقش شعاعهای یونی و اختلاف در شعاعهای یونی  $M^{III}$  و  $M^{II}$  و میزان حلایت محصولات  $M^{II}(CO_3)_2$  و  $M^{II}(OH)_2$  در تشکیل LDH ها مورد بررسی قرار گرفته است [۱۵]. باترمن<sup>۶</sup> و همکارانش پایداری LDH های  $[M^{II}_{1-x} M^{III}_x (OH)_2] Cl_x \cdot nH_2O$  را نسبت به هیدروکسیدهای فلزی / اکسیدهای فلزی آبدار مربوطه آنالیز کردند و نتیجه گرفتند پایداریها طبق ترتیب  $Mg < Mn < Co \approx Ni < Zn$  برای  $M^{II}$  و ترتیب  $Al < Fe < Al^{III}$  برای  $M^{III}$  تغییر می کنند [۱۶]. اخیرا یک سری از مطالعات، بر روی عوامل ترمودینامیکی که تشکیل LDH ها را متاثر می کنند، گزارش شده است، مثلاً آنتالپی های تشکیل سری LDH های  $Mg/Al-CO_3$  با نسبتهای مختلف  $Mg/Al$  اندازه گیری شده و با آنتالپی تشکیل مخلوطی از  $Mg(CO_3)$ ،  $Al(OH)_3$ ،  $Mg(OH)_2$  و آب مقایسه شد و مشخص گردید که LDH ها به اندازه ۱۰ تا ۲۰ پایدارتر هستند [۱۷]. در مقالات و انتشارات اولیه اغلب تصور می شد که یونهایی مثل  $Cu^{2+}$  که دچار واپیچش یان تلر می شوند، تشکیل LDH نمی دهنند مگر اینکه بوسیله کاتیونهای دیگر رقیق شوند اما برخلاف تصور LDH های دارای  $Cu^{2+}$  مثل  $Cu^{2+} (OH)_2Cl_{0.31} \cdot 0.61H_2O$  [Cu<sub>0.69</sub>Cr<sub>0.31</sub>] و  $Cu_2Al-LDH$  سنتز و شناسایی شدند [۲۲]. محاسبات نظری بر پایه اصول دینامیک مولکولی [۱۹] برای  $Mg_nAl-LDHs$  نشان داد که ترکیب در حالت  $n=3$  ( $x=0.25$ ) خیلی پایدارتر هست و عملانیز بسیاری از هیدروتالسیت ها دارای این استوکیومتری هستند. گزارش شده که سنتز LDH هایی با آنیون بین لایه ای بنزووات یا ترفتالات از محلولی با نسبت مولی  $Mg/Al = 2$  منجر به LDH هایی دارای ترکیب مشابه می شود، اگر سنتز در دماهای متوسط انجام گیرد، اما در صورتی که واکنش تحت شرایط هیدروترمال انجام شود LDH هایی با نسبت مولی  $Mg/Al = 3$  تشکیل می شود همانطوری که قبل از ذکر شد محصول

<sup>6</sup> Baterman

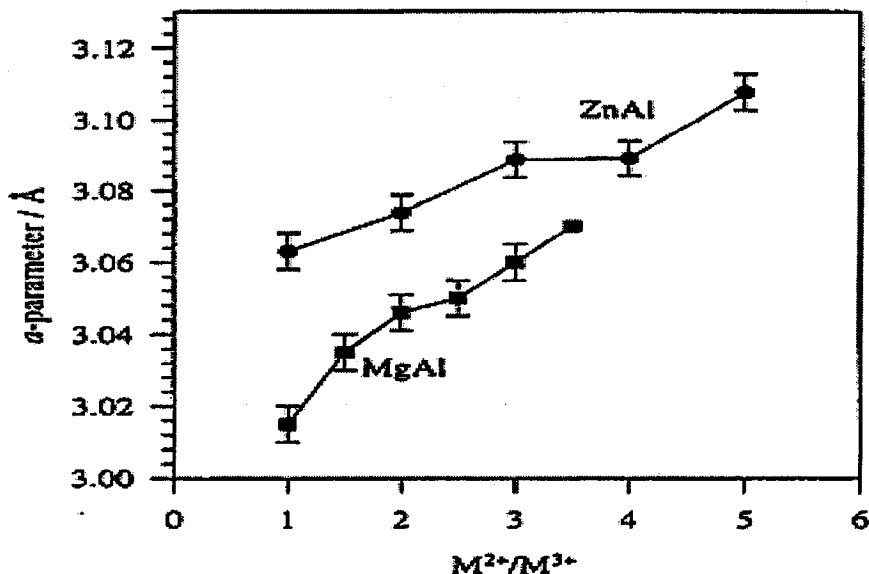
اخیر از نظر ترمودینامیکی بسیار مطلوب است [۲۰] برای محلولهایی با نسبت آغازین  $x = 2$  گزارش شده که ستز در شرایط هیدروترمال منجر به تشکیل LDH با نسبت  $x = 3$  و  $\text{Ni}^{II}/\text{Fe}^{III} = 1$  میشود [۲۱]. و در تلاش برای ستز  $\text{Al}_5\text{Co}^{II}$ ، اکسایش جزئی کبالت (II) منجر به تشکیل  $\text{Ni}^{II}\text{Fe}_2^{III}\text{O}_4$  میشود [۲۱].  $\text{Co}^{III}$  از لایه ها برای ایجاد گونه های اکسی آلومینیوم بین لایه ای همراه است [۲۲].

بسیاری از ادعاهای مبنی بر این که LDH در استوکیومتری خارج از محدوده  $0.2 < x < 0.33$  تشکیل می شوند [۱۲-۱۳]، با مقدار  $x$  کمتر از ۰.۰۷ برای  $\text{Mg/Ga-CO}_3$  LDHs و مقدار  $x$  بزرگتر مثل ۰.۴۱-۰.۴۸ برای  $\text{M}^{III}=\text{Mg}, \text{Ni}, \text{Co}, \text{Cu}$  و  $(\text{M}^{III}=\text{Al}, \text{V}) \text{ M}^{II} / \text{M}^{III}-\text{CO}_3$  LDHs [۱۴-۱۹] و مقدار  $x = 0.5$  برای  $\text{Fe}^{II} / \text{Fe}^{III}-\text{LDH}$  [۲۰] گزارش شده است. پیشنهاد شده که واکنشهای تعویض یونی در pH های نسبتاً پایین یونهای  $\text{M}^{II}$  را از لایه ها شسته شده و بنابراین مقادیر بالایی از  $x$  ایجاد می کند [۲۱] با این حال مشکلات زیادی در تعیین دقیق مقادیر  $x$  در LDH ها وجود دارد، آنالیز عناصر فلزی یک LDH جامد، در صورتی که LDH ستز شده دارای  $\text{M}^{III}(\text{OH})_3$ ،  $\text{M}^{II}(\text{OH})_2$  و یا دارای فازهای دیگری باشد، دارای خطای قابل ملاحظه ای است [۲۲]، در حالی که چنین فازهایی را گاهی اوقات می توان بوسیله XRD مشاهده نمود [۲۳-۲۸]. روشهای دیگر بعضی اوقات دلایل مستند بر ناخالصیهای فازی را فراهم می آورند، برای مثال میزان کمی از  $\text{CO}_3\text{O}_4$  مخلوط شده با  $\text{Co}^{III}\text{Co}^{II}\text{Mg}$  LDHs بوسیله روش FT-IR شناسایی می شود [۲۹]. یا حضور مقادیر قابل توجهی از اکسیدهای آهن(III) آمورف مخلوط شده با  $\text{Mg/Fe}^{III}-\text{LDHs}$  با اسپکتروسکوپی موزبaur دردمای ۴.۲K تشخیص داده می شود [۳۰-۳۱]. پیشنهاد شده که اگر هیچ تغییری در نسب  $\text{Mg/Al-CO}_3$  LDH بعد از شتشوی  $\text{NaOH}$  با محلول  $\text{Mg/Al-CO}_3$  LDH داغ مشاهده نشود، می توان نتیجه گیری کرد که گونه های اکسی آلومینیوم حضور ندارند [۳۰]. همچنین سازگاری میزان محتوای فلزی فاز توده ای (به عنوان مثال، با استفاده از ICP) و سطح آن (با استفاده از EDAX تعیین میگردد) یک گواه خوب برای تشکیل LDH تک فاز هست [۳۱]. همچنین استفاده از میکروسکوپ الکترونی عبوری پویشگر(STEM) جفت شده با EDAX امکان تعیین ترکیب لایه ای LDH را در حضور ناخالصیهای غیرLDH که دارای ذراتی با مورفولوژی کاملاً متفاوت هستند را می دهد [۳۲]. از آنجایی که LDH های دارای کربنات، با فرمول  $\text{M}^{II}_{1-x}\text{M}^{III}_x(\text{OH})_2(\text{CO}_3)_{x/2} \cdot n\text{H}_2\text{O}$  نشان داده می شوند، پیشنهاد شده بود که آنالیز محتوای کربن یک راهنمای قابل قبول برای تعیین مقدار  $x$  به جای آنالیز فلزی می تواند باشد [۳۳]، اما مطالعات بعدی نشان داد که LDH های میزان محتوای کربن داده می شوند، پیشنهاد شده بود که آنالیز سطحی کنند و طبیعتاً این کار بر میزان محتوای کربن تاثیر می گذارد و  $\text{CO}_2$  یا آنیونهای کربنات را جذب سطحی کنند.

بنابراین آنالیز محتوای کربن یک روش غیر قابل قبول برای تعیین مقدار  $X$  به جای آنالیز عناصر فلزی است [۳۴-۳۵].

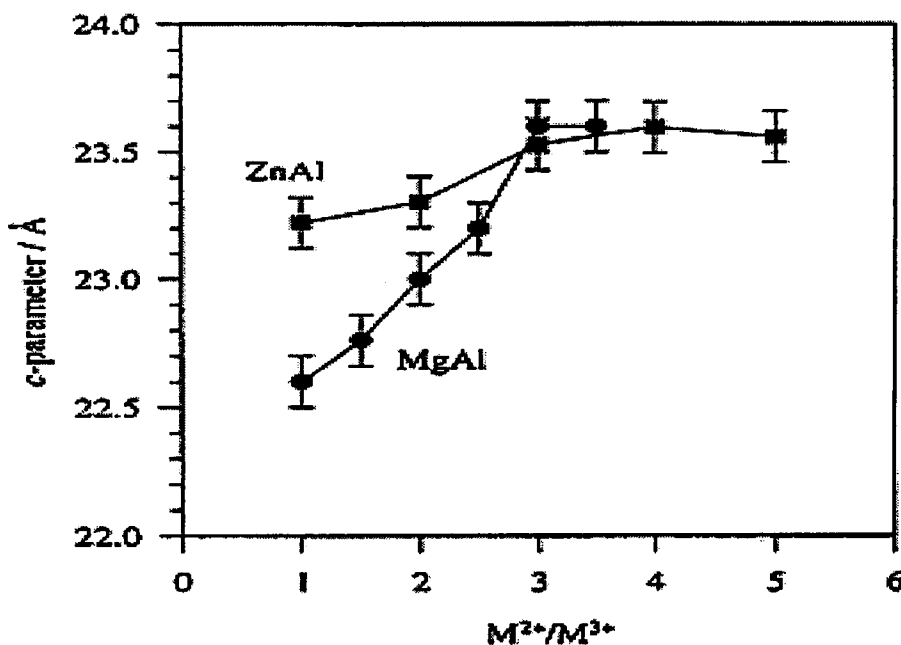
## ۱-۴. بررسی پارامتر ابعادی سلول واحد $a_0$ و $c_0$ برای LDH ها

مقدار پارامتر سلول واحد  $a_0$  برای بروسیت مساوی متوسط فاصله بین مراکز کاتیونهای همسایه در ورقه های انباسته شده نزدیک است و مقدار  $a_0$  برای LDH ها را می توان با شعاع متوسط کاتیونهای فلزی در LDH ها مرتبط کرد، در تقریب نخست مقدار  $a_0$  را می توان با در نظر گرفتن قانون وگارد<sup>7</sup> و آرایش اتمی ایده ال برای کاتیونها محاسبه کرد [۳۶]،  $a_0 = \sqrt{2d(M-O)}$  و طول پیوند اکسیژن-فلز (M-O)  $d$  با شعاع یونی بوسیله معادله  $d(M-O) = (1-x)r(M^{II}) + xr(M^{III})$  ارتباط می یابد. لذا مقدار تغییر  $a_0$  برابر  $\frac{\partial a_0}{\partial x} = -\sqrt{2[r(M^{II}) - r(M^{III})]}$  است [۳۶-۳۷]. مقدار  $a_0$  برای  $Mg_{1-x}Al_xLDH$  برابر  $0.302-0.37$  nm است که نسبت به  $a_0$  بروسیت، کوچکتر هستند [۳۸] و همچنین با افزایش  $x$  کاهش می یابد زیرا شعاع یونی  $Al^{3+}$  کوچکتر از  $Mg^{2+}$  است ( $0.0675 \text{ \AA}$  در مقابل  $0.0860 \text{ \AA}$ ) بسیاری از این نتایج در شکل (۳-۱) برای  $Zn/Al-CO_3$  LDH و  $Mg/Al-CO_3$  LDH نشان داده شده است [۳۹].



شکل (۳-۱) الف: تغییر پارامتر شبکه ای  $a_0$  برای  $Zn/Al-CO_3$  LDH،  $Mg/Al-CO_3$  LDH و  $Zn/Al-Mg/Al$  با تغییر نسبت مولی  $Zn/Al$  و  $Mg/Al$ .

<sup>7</sup> Vegard



شکل(۳-۱) ب: تغییر پارامترهای شبکه ای<sub>c</sub> برای Zn/Al -CO<sub>3</sub> LDH، Mg/Al -CO<sub>3</sub> LDH با تغییر نسبت مولی Zn/Al و Mg/Al.

- OH)<sub>2</sub> Al (OH)<sub>2</sub> (OH<sub>2</sub>)<sub>2</sub><sup>2-</sup> ab-initio بر روی دیمرهایی از [Al(OH)<sub>2</sub>]<sub>2</sub> و از نوع  $[\mu-(\text{H}_2\text{O})_2\text{Mg}(\text{OH})_2]_x$  در جایی که مقادیر آزمایشی فواصل M...M در بروسیت ها و LDH ها را بازسازی کرده است [۴۹]، درین مقدار  $a_0$  و ترکیب ظاهری (نسبت مولی کاتیونها) LDH ها همبستگی وجود ندارد، ممکن است نشان دهنده حضور فازهای ناخالصی (فاز غیر LDH) باشد [۵۰] که این حالت اغلب در مورد Mg/Al-LDH شامل آنیون بین لایه ای کربنات یا نیترات مشاهده شده است. برای مقادیری از  $x \geq 0.33$  در بعضی مواقع حضور یک فاز ناخالص مثل  $\text{Al}(\text{OH})_3$  قابل شناسایی است [۵۱]. در Mg/Al-LDH با  $[Fe(CN)_6]^{3-}$  به عنوان آنیون میهمان یک تغییر خطی در مقدار  $a_0$  بر حسب  $x$  در گستره ۰.۱-۰.۴۸ گزارش شده است [۵۲]، در عین حال با مقدار  $x=0.48$  وابسته به  $a_0=0.302$  برای Zn/Al CO<sub>3</sub> LDHs بین  $a_0$  و  $x$  در مقادیر  $<44>$  همبستگی وجود دارد [۵۳]. اگر چه در اصل مقدار  $a_0$  یک روش مفید برای برآورد مقدار  $x$  است همانطوری که در بخش ۸-۱ بحث خواهد شد، مقدار تجربی  $a_0$  از محل انعکاس ۱۱۰ در الگوی پراش اشعه ایکس تعیین می شود این انعکاس اغلب ضعیف و ممکن است نسبتا پهن شده باشد و با انعکاسهای همپوشانی کند به طوری که تعیین موقعیت آن مشکل باشد [۵۴].

## ۱-۵. فاصله پایه ای LDH‌ها

فاصله پایه<sup>۸</sup> یک LDH، مجموع ضخامت یک لایه بروسیتی و فاصله بین لایه‌ای است و این فاصله با نوع ترکیب لایه‌ها یعنی نوع و کسر مولی کاتیونهای دو ظرفیتی و سه ظرفیتی و اندازه آنیون و تعداد مولکولهای آب بین لایه‌ای تغییر می‌کند. به طور مثال برای LDHs  $Mg_n Al-CO_3$  فاصله پایه از ۰.۷۹۲۸nm برای  $n=5$  تا ۰.۷۵۹۱nm برای  $n=2.4$  تغییر می‌کند که آن را می‌توان به یک انقباض کوچک در ضخامت لایه از ۰.۲۰۰۱nm ( $n=5$ ) تا ۰.۱۹۵۹nm ( $n=2$ ) و نیز به کاهش در ضخامت فضای بین لایه‌ای نسبت داد. دانسیته بار لایه‌ها با کاهش  $n$  افزایش می‌یابد که منجر به پیوند الکترواستاتیکی قویتر با آنیونهای بین لایه‌ای و پیوند هیدروژنی قویتر با مولکولهای آب بین لایه‌ای می‌شود [۴۰-۴۱].

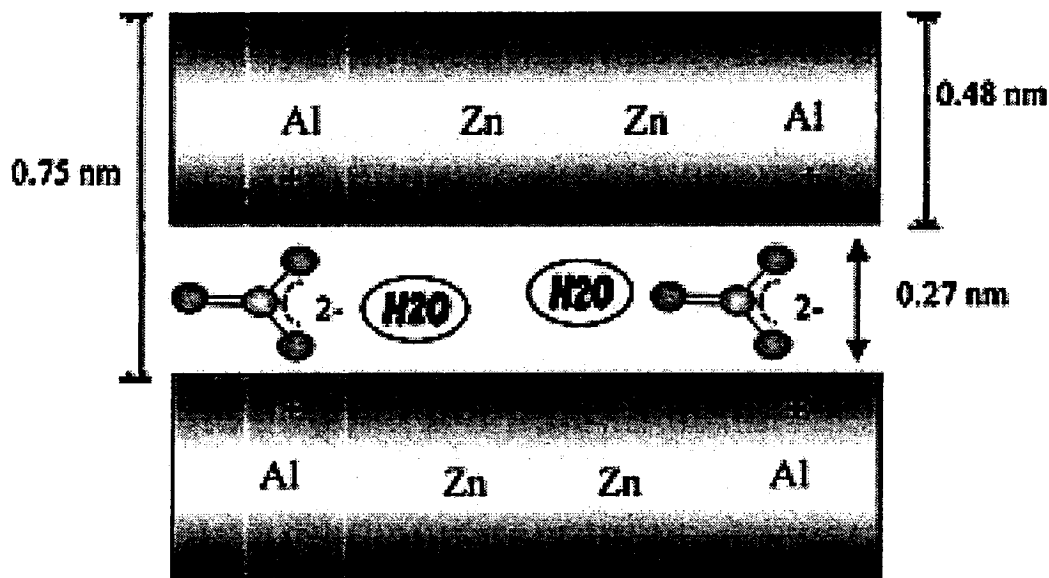
در مورد  $[Ni_{6-x}Mg_xFe_2(OH)_{16}]CO_3.nH_2O$  یک افزایش یکنواخت در فاصله پایه از ۰.۷۷۸nm ( $x=0$ ) به ۰.۷۹۱ ( $x=6$ ) مشاهده شده است [۴۲] اگر چه بار کاتیونی کل لایه‌ها تغییر نمی‌کند و این بدین صورت تفسیر می‌شود، مشخص شده که گروههای OH پیوند شده به  $Ni^{2+}$  نسبت به آنهای که به  $Mg^{2+}$  متصل شده‌اند، به صورت خیلی قویتری پلاریزه می‌شوند و از این رو پیوندهای هیدروژنی قویتری با آنیونهای کربنات بین لایه‌ای می‌دهند، لذا با افزایش  $Ni^{2+}$  ضخامت بین لایه‌ای کاهش می‌یابد. افزایش مشابهی در فاصله پایه لایه دوگانه های هیدروکسیدی از نوع  $[Co_2Fe_yAl_{1-y}(OH)_2]Cl.nH_2O$  از ۰.۷۶۳۷nm ( $y=0$ ) تا ۰.۷۸۹۳nm ( $y=1$ ) مشاهده شده که این افزایش را می‌توان به تغییر ضخامت لایه‌ها نسبت داد [۴۳].

## ۱-۶. فضای بین لایه‌ای، لایه دوگانه هیدروکسیدی

فضای بین لایه‌ای شامل آنیونهای بین لایه‌ای و مولکولهای آب و یک شبکه پیچیده از پیوندهای هیدروژنی بین گروههای هیدروکسیل لایه‌ای و مولکولهای آب و آنیونها است. بین لایه‌ها اساساً بی‌نظم بوده و پیوندهای هیدروژنی در یک حالت پیوسته ای از شار قرار دارند به طوری که شناخت دقیق بین لایه‌ای کاملاً پیچیده است [۳]، نیروی جاذبه بین لایه‌های اکتاهدراal و ترکیبات بین لایه‌ای شامل ترکیبی از اثرات

<sup>8</sup> Basal Spacing

الکترواستاتیکی و پیوند هیدروژنی است، گروههای هیدروکسیل مخصوصاً آنهایی که به کاتیونهای سه ظرفیتی پیوند یافته اند به طور خیلی قوی پلاریزه شده و با آنیونهای بین لایه ای بر همکنش می‌دهند و اضافی بارهای مثبت بر روی لایه‌ها به وسیله آنیون بین لایه ای خشی می‌شود. آنیونهای مختلف ساختارها و اندازه‌های مختلفی را در فضای بین لایه ای بوجود می‌آورند و آنیونها در بین لایه‌ها جهت گیری خاصی برای ایجاد حداکثر برهمکنش الکترواستاتیکی با لایه‌ها دارند، همانطوری که در شکل (۴-۱) مشاهده می‌شود آنیون کربنات  $\text{CO}_3^{2-}$  موقعیت موازی با لایه‌ها دارد زیرا در این حالت سه اتم اکسیژن حداکثر برهمکنش الکترواستاتیکی را با لایه‌های باردار مثبت دارد [۴۴].



شکل (۴-۱) تصویر شماتیک از ساختار لایه‌ای و آنیون بین لایه‌ای، لایه دوگانه هیدروکسید

همان طوری که در شکل ۴-۱ مشاهده می‌شود در بین لایه‌های بروسیت مانند آنیون‌های کربنات و مولکولهای آب قرار گرفته است. این لایه‌ها با نیروهای الکترواستاتیک و پیوندهای هیدروژنی روی یکدیگر انباسته شده اند. با قرار گرفتن آنیونهای کربنات و مولکولهای آب فاصله پایه ای از  $0.48 \text{ nm}$  در بروسیت به  $0.75 \text{ nm}$  در  $\text{Zn}_n\text{Al}-\text{CO}_3$  LDHs تغییر می‌یابد.

پایداری آنیونهای بین لایه ای با ترتیب زیر می‌باشد:



## ۱-۷. صلبیت لایه<sup>۹</sup>

صلبی لایه ها در یک جامد دو بعدی دارای اثر قابل توجهی بر خواص آن می باشد [۴۵]. مقدار پارامتر سختی (p) (نسبت به سختی نمونه استاندارد) تعیین شده برای ترکیب لایه ای دوگانه هیدروکسیدی زیر  $[Zn_{0.61}Al_{0.39}(OH)_2]_{0.195}Cl_{0.39-y}H_2O$  تقریبا مساوی ۵ است [۴۶-۴۷]، این مقدار مشخص می کند که لایه های LDH خیلی سختتر از گرافیت هستند، و سختی کمتری نسبت به خاکهای رسی فیلوسیلیکات  $1 : 2$  مثل ورمیکولیت<sup>۱۰</sup> ( $P \approx 7$ ) دارند و نسبت به فلزات دی کالکوژنید ( $P \approx 3.5$ ) اندکی سختتر هستند [۴۵]. این مقادیر با تعداد صفحاتی از اتمها که لایه ها از آن تشکیل یافته، سازگار است (۱ برای گرافیت، ۳ برای LDH ها و فلزات دی کالکوژنید و ۷ برای برای خاکهای رسی  $(1 : 2)$  در نتیجه لایه های نسبتا سخت نیروهای قوی بر روی میهمانهای بین لایه ای در LDH ها اعمال می کنند. از بزرگی جابجایی قرمز مشاهده در فوتولومینسانس بر روی آنیون بین لایه ای<sup>۱۱</sup>  $[SmW_{10}O_{36}]^{9-}$  در لایه دوگانه های هیدروکسیدی، نشان داده شده که لایه ها بر روی آنیون میهمان یک تشن تک محوری تقریبا  $14 Gpa^{11}$  اعمال می کنند [۴۸-۴۹].

## ۱-۸. تعیین جزئیات ماهیت ساختاری LDH ها با استفاده از پراش اشعه ایکس (XRD)

انعکاسهای پراش اشعه ایکس ترکیب لایه دوگانه هیدروکسیدی در سه گروه خلاصه می شود: (۱) یک سری از انعکاسهای پایه قوی  $(00l)$  که به ما امکان اندازه گیری مستقیم فاصله پایه (Basal spacing) که مساوی ضخامت یک لایه بروزیت به اضافه ضخامت بین لایه ای است را می دهد. انعکاسی که در زاویه پایین قرار دارد با علامت  $(00n)$  مشخص می شود، انعکاسهای  $(00l)$  منظمتر با درجه نظم بالاتر به طور متداول به فاصله های  $c_0/2$ ،  $c_0/3$  و ..... تعلق می یابند، در عین حال این همبستگی در صورت انباستگی ناقص حول محور C از بین می رود، و این می تواند ناشی از چینه بندی بین لایه ای<sup>۱۲</sup> (اگر فضای بین لایه ای دارای آنیونهای مختلف باشد) باشد [۵۰-۵۱]. اگر گستره وسیعی از بی نظمی در فضای بین لایه ای وجود داشته باشد [۵۲، ۵۳]، بعلاوه اگر لایه دوگانه هیدروکسیدی از ورقه های

<sup>9</sup> Layer Rigidity

<sup>10</sup> vermiculite

<sup>11</sup> Giga Pascal

<sup>11</sup> Interstratification

بسیار نازک تشکیل شده باشد، پیک پایه انگشتی به سمت زاویه پایین منتقل می شود [۵۲]. در جایی که انعکاسهای پایه و غیر پایه همپوشانی کرده اند، اطلاعات مفید را می توان با مقایسه کردن الگوهای XRD نمونه های ترجیحی منظم با نمونه هایی که به طور تصادفی جهت گیری کرده اند، بدست آورد [۵۴]. (۲) موقعیت انعکاس (110) در زاویه بالا (نزدیک به  $\theta \approx 60^\circ$  برای تابش  $\text{Cu} \text{K}\alpha$ ) که اجازه می دهد پارامتر شبکه  $a_0 = 2d_{(110)}$  که مقدار آن برابر فاصله دو کاتیون همسایه است و همچنین شعاع کاتیونها را انعکاس می دهد.

(۳) در نهایت انعکاسهای (01l) و یا (10l) در زوایای متوسط برای تعیین الگوی انباشتگی لایه ها استفاده می شود. با استفاده از مقادیر  $a_0$  و  $c_0$  تعیین شده در بالا، تعداد لایه های انباشته شده حول محور C از سلول واحد را می توان تعیین کرد، علاوه بر این نوع انباشتگی هگزاگونال و رومبوهدرال را می توان تشخیص داد [۲۰]، بطور مثال برای چند جزئی  $3R_1$  شدت بازتابهای ((01l+1)) قویتر از شدت بازتابهای (10l) { عدد صحیح  $n = l = 3n+1$  } است. در حالی که بر عکس برای چند جزئی  $3R_2$  شدت بازتابهای (10l) قویتر از شدت بازتابهای ((01l+1)) است. حضور پیکهای (012)، (015) و (018) در شکل a (۵-۱) [۵۵] نشان می دهند که هیدروتاسیت ساختار  $3R_1$  دارد، به طور عمومی پذیرفته شده که بیشتر لایه دوگانه های هیدروکسیدی کربنات دار این ساختار را دارند زیرا آرایشهای منشوری گروههای هیدروکسیل به آنها اجازه می دهد که هم در بالا و هم در پایین لایه ها تشکیل پیوند هیدروژنی با اتمهای اکسیژن آنیونهای کربنات دهند [۶۶]. جونز و همکارانش [۵۶] ستز گونه های چند جزئی  $3R_2$  بوسیله روش هیدروترمال از مخلوط  $\text{Al(OH)}_3$  و اکسید منزیم را گزارش دادند، انعکاسهای قوی با علامتها (101)، (104) و (107) در شکل (۱-۶) [۱۰۷] نشان می دهند که هیدروتاسیت انباشتگی از نوع  $3R_2$  دارد.

(۴) برای برای محاسبه اندازه متوسط قطر نانوذرات از معادله شرر  $D = \frac{K\lambda}{\beta \cdot \cos \theta}$  استفاده کردیم که  $\lambda = 1.54 \text{ \AA}$  و  $\theta$  (زاویه پراش) و  $K = 0.89$  و  $\beta$  (پهنای پیک در نصف ماکزیمم بر حسب رادیان). به دلیل اینکه مقدار پهنای پیک در نصف ارتفاع ( $'\beta'$ ) بدست آمده از الگوی پراش بر حسب درجه می باشد با تبدیل آن به رادیان و همچنین قرار دادن مقدار  $\lambda$  در معادله  $D = \frac{K\lambda}{\beta \cdot \cos \theta} = \frac{0.89\lambda}{\beta(\text{rad}) \cdot \cos \theta}$  معادله زیر بدست می آید.  $D = \frac{7.87}{\beta \cdot \cos \theta}$  و  $\beta = \sqrt{\beta'^2 - \beta_0^2}$  بطوری که  $\beta_0$  پهنای دستگاهی نام دارد و مساوی  $0.103$  است و  $'\beta'$  برابر با پهنا در نصف ارتفاع مربوط به پیک  $100l$  است [۱۱۲].